

风电增速器齿轮表面点蚀成因分析

丁晓燕

银川威力传动技术股份有限公司 宁夏银川 750001

DOI:10.32629/ems.v8i5.20188

[摘要] 风电增速器齿轮在长期变载与冲击载荷工况下易出现表面点蚀, 导致振动噪声上升、效率下降并加速失效。论文围绕点蚀的形成机理与影响路径展开, 基于齿面接触疲劳理论与润滑状态演化, 分析载荷波动、啮合误差、齿面粗糙度与材料组织等因素对油膜承载能力与局部接触应力的耦合作用, 阐明微滑条件下裂纹从表层向近表层扩展并形成剥落坑的过程。结合典型失效形貌与工况特征, 构建点蚀成因判据框架, 并提出面向工程应用的控制思路, 为增速器齿轮抗点蚀设计与运维提供依据。

[关键词] 风电增速器; 齿轮; 表面点蚀; 接触疲劳; 润滑油膜

引言:

风电机组在复杂风况下运行, 增速器齿轮长期承受变载、冲击与启停扰动, 齿面局部接触状态频繁波动, 点蚀成为影响可靠性与寿命的典型失效形式。点蚀不仅会引起啮合性能恶化, 还可能诱发更严重的剥落与断齿风险, 增加停机维护成本。现有工程实践表明, 点蚀往往由载荷波动、油膜不足、表面状态与材料耐久性共同作用而触发, 但其关键驱动链条与主导因素在不同工况下存在差异。研究聚焦齿轮表面点蚀的成因机制, 旨在明确诱发条件与演化规律, 为抗点蚀设计、润滑管理与状态监测提供理论支撑。

一、风电增速器齿轮点蚀的运行特征与演化机理

风电增速器齿轮点蚀具有明显工况依赖性, 常出现在节线附近或接触区边缘, 表现为针孔状凹坑向片状剥落扩展, 伴生挤压唇与压光带, 反映重复滚滑下的塑性累积与剪切损伤。其成因与随机风载引起的扭矩波动、并网转速扰动及频繁启停密切相关, 导致赫兹应力呈周期与非周期混合变化。

微观上, 齿面粗糙峰离散接触受粗糙度、波纹度及修形误差影响, 改变真实接触面积与载荷分布, 加剧局部应力集中和温升, 为点蚀萌生提供力学条件。

为了量化实际工况下的损伤风险, 基于某 6MW 风电增速器齿轮副计算: 在额定工况下, 齿面最大赫兹接触应力计算结果约为 1350~1500MPa, 已显著超出常规渗碳齿轮材料接触疲劳极限的稳定区间; 在极端阵风冲击载荷下, 瞬时接触应力可突破 1800MPa, 引发表层塑性累积风险显著上升。同时, 考虑变载引起的转速下降与齿面温升, 润滑油膜厚度急剧衰减。经弹流润滑理论估算, 额定工况下最小油膜厚度约为 0.6~0.8 μm , 膜厚比 (λ) 勉强维持在 1.0~1.2 的混合润滑阈值附近; 而当进入低速重载工况时, 最小油膜厚度骤降至 0.3 μm 以下, 膜厚比 (λ) 低于 0.6, 齿面直接进入边界润滑状态, 粗糙峰接触概率大幅上升。接触应力的超限与油膜的严重不足, 构成了点蚀萌生的直接力学与润滑诱因。见图 1。

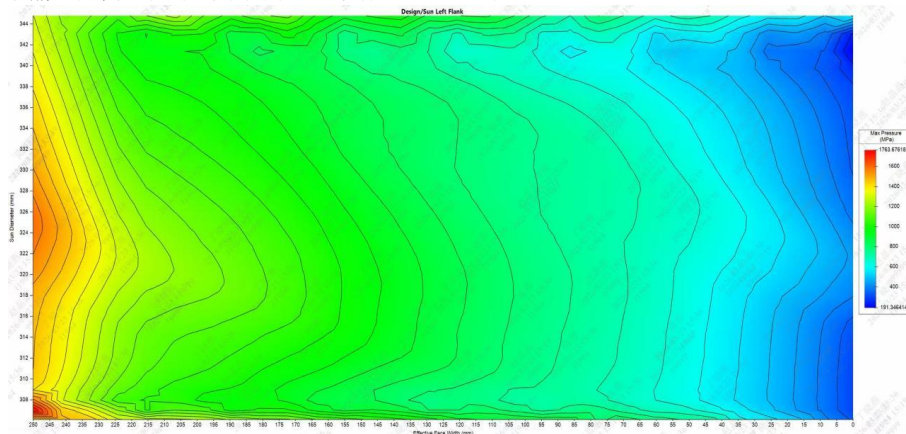


图1 齿轮齿面接触应力分布(未优化前)

点蚀演化遵循“油膜衰减—微裂纹萌生—扩展贯通—微片剥离”的过程。弹流润滑时, 最大剪应力位于近表层; 当

膜厚比降低进入混合或边界润滑,粗糙峰接触加剧,导致表层塑性变形与残余拉应力,成为裂纹源。在交变应力和摩擦力作用下,裂纹沿最大剪应力方向扩展,润滑油楔入产生水力效应,加速分叉与贯通。裂纹网络破坏表层连续性后,微片剥离形成点蚀坑;坑缘几何突变引发动态冲击与刚度波动,诱发二次裂纹,形成恶化闭环。该过程受材料硬度梯度、渗碳层质量及夹杂物影响,伴随振动、温度与磨粒特征变化,为状态监测提供依据^[1]。

二、变载工况下油膜失效与接触疲劳耦合效应

变载工况下,增速器齿轮的润滑与疲劳响应强耦合,油膜失效由载荷谱、速度瞬变和接触几何共同驱动,呈现动态失稳。风载随机性引起扭矩快速波动,导致赫兹压力与滚滑比变化,使弹流油膜在峰值载荷时迅速变薄,卸载时回弹,形成周期性“薄膜—恢复”交替。在粗糙峰尺度上,此过程引发间歇金属接触与剪切应力突增,摩擦生热降低油膜黏度,触发“热-黏-膜”正反馈,扩大混合润滑区域。同时,瞬态温升与高剪切速率导致润滑油剪切变稀和空气夹带,削弱供油效率与压力生成能力,促使油膜更早由弹流状态退化为边界润滑。

油膜失效与接触疲劳的耦合核心在于应力场与材料损伤同步放大。充足油膜下,最大剪应力位于近表层,表面剪切可控;油膜不足时,粗糙峰承载使表面与次表面同时承受高摩擦与法向应力,最大剪应力移向表层,裂纹由次表面转为表层萌生,点蚀敏感性显著升高^[2]。变载引发的动态载荷与边缘接触导致压力偏斜,形成局部应力集中带,材料在循环

加载下产生棘轮效应、塑性剪切带、位错胞及残余拉应力,降低裂纹萌生阈值。同时,摩擦功耗波动引起表层温度周期变化,扰动渗碳层与回火组织稳定性,使硬度梯度和残余压应力衰减,削弱抗裂纹扩展能力。

在耦合效应持续作用下,裂纹扩展行为呈现明显的工况依赖性。峰值载荷阶段提供裂纹尖端的高应力强度驱动力,卸载阶段则利于润滑介质进入裂纹并产生楔入压力,裂纹面反复张开闭合导致裂尖钝化与再尖化交替,裂纹扩展速率呈现非线性增长。齿面微点蚀坑形成后,局部润滑流场被扰动,油膜厚度沿坑缘产生急剧梯度,压力脉动与微冲击加重,使点蚀从单点向簇状区域扩展。

三、基于载荷控制与表面强化的抗点蚀技术路径

抗点蚀技术路径应围绕“降低动态接触应力峰值、维持有效油膜、提升表层抗裂与抗剥落能力”协同推进。载荷控制旨在削弱风载随机性向齿面的传递,通过机组控制策略与传动链参数匹配,降低扭矩波动幅值及高频成分;采用扭矩斜率限制、柔性并网与阻尼注入等手段抑制变桨与电磁转矩耦合引起的短时冲击,减少动态载荷增量。在传动系统层面,优化输入端惯量匹配、联轴器刚度/阻尼及限矩阈值,使载荷谱更平滑,避免超载尖峰。齿轮副内部需通过齿向/齿廓修形与装配补偿改善齿宽载荷均匀性,结合啮合误差控制与轴承预紧优化,减小轴系挠度与偏载,降低赫兹压力峰值。如图2所示,修形后最大接触应力降至1072 MPa,高应力区由边缘移至中部,显著抑制边缘接触风险。

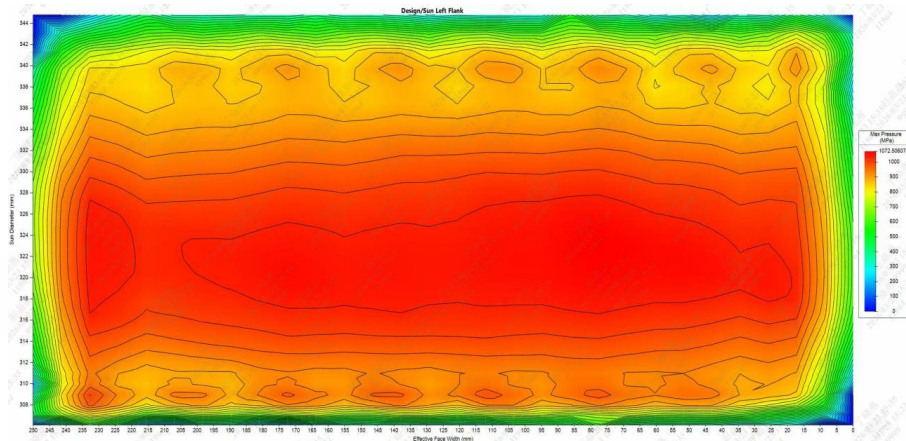


图2 齿轮齿面接触应力分布(修形优化后)

表面强化路径需要在材料体系与表面形貌两方面同时发力,目标是提高表层屈服强度、残余压应力水平与裂纹扩展阻力,同时改善微观承载与润滑保持能力。渗碳淬火体系可通过提升有效硬化层深度与控制碳浓度梯度,增强近表层抗

剪切疲劳能力;在保证韧性的前提下提高表面硬度与回火稳定性,可降低塑性累积并抑制微裂纹萌生。喷丸、滚压等机械强化通过引入残余压应力和表层致密化,提高裂纹萌生阈值、延缓扩展,并削平粗糙峰;配合超精加工可降低齿面峰

谷高度与方向性纹理,提升膜厚比、减少边界摩擦^[3]。润滑系统方面,供油方式与喷油布局直接影响油膜建立能力。针对增速器多齿啮合与行星结构,应在箱体、行星架及行星轴合理增设喷油孔,优化喷射路径与覆盖范围,确保高速变载下齿面获得持续稳定的油膜供给。

抗点蚀的工程化落地还需要把载荷控制与表面强化进行耦合评估:载荷谱优化降低应力峰值,为表面强化提供更稳定的疲劳环境;表面强化提高抗损伤能力,反过来提升系统对偶发载荷的容忍度。技术路径的验证应采用以等效损伤为核心的指标体系,综合考虑接触应力统计特征、膜厚比窗口、摩擦功耗与残余压应力衰减规律,实现从控制策略、齿轮修形到表面处理工艺的协同设计,从而在不牺牲传动效率与可靠性的前提下提升抗点蚀寿命。

四、典型工况下齿轮点蚀控制效果分析

典型工况下齿轮点蚀控制效果应围绕“接触应力峰值削减、润滑状态稳定、损伤增长速率下降”建立量化对比框架。典型工况包括稳态运行、快速变载、低温启停及扭矩脉动等。稳态工况中,修形与控制策略优化使齿宽压力分布更均匀,接触斑稳定,啮合刚度波动减小;膜厚比提升、摩擦功耗与油温降低,边界润滑占比减少,早期微点蚀由“簇状扩展”转为“零散停滞”,坑密度增长率显著放缓。改造后齿面点蚀坑更浅小,坑缘二次裂纹与挤压唇不明显,表明表层塑性剪切累积减弱,控制有效抑制了损伤演化。

快速变载下,评价聚焦动态载荷增量与瞬态油膜保持能力。通过扭矩斜率限制、阻尼匹配与偏载抑制,削峰降比,减少油膜由弹流向混合润滑的转换频次。振动边带能量降低与磨粒细小化表明动态冲击与剥落减少;点蚀呈现“边缘扩展受限、并合延后”,裂纹驱动力被削弱。低温启动或频繁启停易致短时边界润滑,需协同预润滑、油温管理与表面抗擦伤能力:预热或循环润滑缩短油膜建立时间,降低摩擦峰值;表面强化提升残余压应力与硬度梯度,增强对短时金属接触的容忍度,减少早期点蚀萌生,使损伤集中于高应力区而非随机分布^[4]。

综合不同工况的对比结果可以看出,点蚀控制效果并非单一指标的改善,而是多物理量共同变化的结果:接触应力统计特征优化、油膜窗口扩大、表层抗裂性能增强三者同时满足时,点蚀从“可观测损伤”转为“可管理损伤”。工程评价宜采用寿命等效与损伤增长并行的方式,在同等载荷谱条件下比较点蚀面积率、坑深分布、振动边带能量与油液磨粒

趋势,形成闭环判定,从而为不同典型工况下的参数整定与措施组合提供依据。

五、面向高可靠性的增速器齿轮优化方向

高可靠性增速器齿轮优化需贯穿“设计—制造—运行”全链条。设计上应引入随机载荷谱,将峰值载荷、循环分布与动态增量纳入疲劳寿命与安全裕度评估,超越额定工况静强度校核;齿形修形需结合轴系挠度、轴承刚度与箱体变形,通过系统级啮合仿真抑制边缘接触,实现齿宽载荷均匀化与啮合刚度平滑化。润滑方案应转向工况自适应设计,优化喷油孔布局、角度与孔径,确保节线及高应力区有效覆盖,提升瞬态油膜建立能力与散热效率;同时将污染控制纳入可靠性体系,强化滤清精度与水分管理,降低表面疲劳敏感性^[5]。

制造与运维优化需聚焦表面完整性与过程一致性,构建“可预警、可干预、可验证”的闭环管理体系。热处理应稳定控制渗碳层深度、硬度梯度与残余应力,避免组织不均和脆化带诱发裂纹;精加工与表面强化需平衡低粗糙度与适度纹理化,防止方向性纹理引发局部微滑集中。运行阶段融合振动、油液及温黏信息,构建点蚀风险指数,联动调控参数与维护策略;在损伤早期通过载荷管理、润滑优化与检修规划抑制加速劣化,实现高可靠运行闭环。

结语:

风电增速器齿轮点蚀源于变载条件下油膜承载衰减与接触疲劳损伤的耦合放大,表现为裂纹萌生、扩展与剥落的连续演化。通过载荷控制、啮合优化、润滑管理与表面强化协同,可降低应力峰值与边界摩擦占比,延缓点蚀增长并提升寿命稳定性。面向高可靠运行,应推进全链条鲁棒设计与状态闭环管理。

[参考文献]

- [1]王琪.风电增速器齿轮修形的优化分析[J].机械研究与应用,2025,38(04):78-81.
- [2]胡凯,周能,陈晨,等.大型风电增速箱多级齿轮传动自动安全控制方法[J].机械与电子,2024,42(11):49-52+57.
- [3]王均刚,陈胜,单正昂,等.基于动态性能分析的风电增速箱NW型行星齿轮综合修形方法[J].科学技术与工程,2023,23(21):9032-9041.
- [4]陈胜.风电增速箱多级行星轮动态性能分析及齿轮修形研究[D].华东交通大学,2023.
- [5]花志锋.风电增速齿轮箱的动力学建模与性能仿真分析方法[D].兰州理工大学,2021.